

# Processus de Wishart

## Projet 3A - Soutenance de mi-parcours

E. Bohbot   J. Lefrancq-Lumière

Ecole Polytechnique, 1er décembre 2015

- 1 Introduction
- 2 Processus affines et processus de Wishart : premiers résultats
- 3 Simulation des processus de Wishart
- 4 Simulation d'un processus de Cox-Ingersoll-Ross
- 5 Perspectives

- 1 Introduction
  - Diffusion et Bessel carrés
  - Extension aux processus matriciels
  - Processus de Wishart et processus affines
- 2 Processus affines et processus de Wishart : premiers résultats
- 3 Simulation des processus de Wishart
- 4 Simulation d'un processus de Cox-Ingersoll-Ross
- 5 Perspectives

- Soit  $B_t = (B_1(t), \dots, B_n(t))$  un mouvement brownien de  $\mathbb{R}^n$ . Le processus  $X_t = B_1(t)^2 + \dots + B_n(t)^2$  est un processus solution de l'EDS  $dX_t = 2\sqrt{X_t}dB_t + ndt$ , dont le générateur est  $2xD^2 + nD$  où  $D = d/dx$
- Plus généralement, pour  $\alpha \geq 0$ , un Bessel carré BESQ( $\alpha$ ) est généré par  $2xD^2 + \alpha D$  et a pour densité une fonction de Bessel

## 1 Introduction

- Diffusion et Bessel carrés
- Extension aux processus matriciels
- Processus de Wishart et processus affines

## 2 Processus affines et processus de Wishart : premiers résultats

## 3 Simulation des processus de Wishart

## 4 Simulation d'un processus de Cox-Ingersol-Ross

## 5 Perspectives

- Les fonctions de Bessel ont des versions matricielles
- L'analogue matricielle de  $X_t$  a été étudié et a pour densité une fonction de Bessel matricielle. Plus spécifiquement, si  $B$  est une matrice de mouvement brownien de taille  $n \times p$  la matrice  $B^T B$  a une distribution dite de Wishart et pour densité une fonction de Bessel matricielle
- Il est donc naturel d'étudier la version matricielle des processus Bessel carrés (i.e où  $\alpha$  n'est plus un entier naturel, mais un réel positif).
- On va donc étudier l'EDS

$$dS_t = \sqrt{S_t} dB_t + dB^T \sqrt{S_t} + \alpha I dt$$

où  $\alpha \in \mathbb{R}^+$ , et des formes légèrement plus générales (processus affines)

## 1 Introduction

- Diffusion et Bessel carrés
- Extension aux processus matriciels
- Processus de Wishart et processus affines

## 2 Processus affines et processus de Wishart : premiers résultats

## 3 Simulation des processus de Wishart

## 4 Simulation d'un processus de Cox-Ingersol-Ross

## 5 Perspectives

- On peut aussi généraliser en prenant  $S_t = X_t^T X_t$  où  $X_t$  est un processus d'Ornstein-Uhlenbeck.
- Soit  $dX_t = dN_t a + X_t b dt$  où  $a$  et  $b$  sont des matrices carrées de taille  $p$ , et  $N_t$  une matrice de mouvement brownien de taille  $n \times p$ . Soit  $S_t = X_t^T X_t$  et

$$dB_t = \sqrt{S_t^{-1} X_t^T} dN_t a (\sqrt{a^T a})^{-1}$$

- $(B_t)$  est une matrice brownienne de taille  $p$  et  $(S_t)$  est solution de

$$dS_t = \sqrt{S_t} dB_t \sqrt{a^T a} + \sqrt{a^T a} dB_t^T \sqrt{S_t} + (b S_t + S_t b) dt + n a^T a dt$$

- On généralise en prenant  $\alpha \in \mathbb{R}^+$



- On peut définir un cadre plus général, qui englobe les processus de Wishart : celui des processus affines.
- On considère dans la suite les processus affines sur  $\mathcal{S}_d^+(\mathbb{R})$  solutions de l'EDS

$$X_t^x = x + \int_0^t (\bar{\alpha} + B(X_s^x)) ds + \int_0^t (\sqrt{X_s^x} dW_s a + a^T dW_s^T \sqrt{X_s^x})$$

où

$$\begin{aligned} x, \bar{\alpha} &\in \mathcal{S}_d^+(\mathbb{R}) & a &\in \mathcal{M}_d(\mathbb{R}) \\ B &\in \mathcal{L}(\mathcal{S}_d(\mathbb{R})) \end{aligned}$$

- Les processus de Wishart correspondent au cas où

$$\begin{aligned} \exists \alpha \geq 0, \quad \bar{\alpha} &= \alpha a^T a \quad \text{et} \\ \exists b \in \mathcal{M}_d(\mathbb{R}), \forall x \in \mathcal{S}_d(\mathbb{R}) \quad B(x) &= bx + xb^T \end{aligned}$$

- 1 Introduction
- 2 Processus affines et processus de Wishart : premiers résultats
  - Expression du générateur sur  $\mathcal{M}_d(\mathbb{R})$  puis sur  $\mathcal{S}_d(\mathbb{R})$
  - Processus de Wishart et fonction caractéristique
  - Réécriture des processus affines
- 3 Simulation des processus de Wishart
- 4 Simulation d'un processus de Cox-Ingersoll-Ross
- 5 Perspectives

# Processus de Wishart : premiers résultats

## Expression du générateur

Soit  $(\mathcal{F}_t)_{t \geq 0}$  la filtration engendrée par un mouvement brownien  $((W_t)_t, t \geq 0)$ . Soient  $(A_t)_t$ ,  $(B_t)_t$  et  $(C_t)_t$ ,  $(\mathcal{F}_t)$  adaptés et à valeurs respectives dans  $\mathcal{M}_d(\mathbb{R})$ ,  $\mathcal{M}_d(\mathbb{R})$  et  $\mathcal{S}_d(\mathbb{R})$ .

### Lemma

*Soit le processus  $(Y_t)_{t \geq 0}$  à valeurs dans  $\mathcal{S}_d(\mathbb{R})$  défini comme suit :*

$$dY(t) = C_t dt + B_t dW_t A_t + A_t^T dW_t^T B_t^T$$

*Alors*

$$\begin{aligned} d \langle (Y_t)_{i,j}, (Y_t)_{m,n} \rangle = & [(B_t B_t^T)_{i,m} (A_t^T A_t)_{j,n} + (B_t B_t^T)_{i,n} (A_t^T A_t)_{j,m} \\ & + (B_t B_t^T)_{j,m} (A_t^T A_t)_{i,n} + (B_t B_t^T)_{j,n} (A_t^T A_t)_{i,m}] dt \end{aligned}$$

# Expression du générateur

A partir de ce lemme, on peut appliquer la formule d'Itô à une fonction  $f$  dont les dérivées sont bornées pour calculer le générateur du processus affine pour  $f \in \mathcal{C}^2(\mathcal{M}_d(\mathbb{R}), \mathbb{R})$  ayant des dérivées bornées

$$\forall x \in \mathcal{S}_d^+(\mathbb{R}), \quad \mathcal{L}^{\mathcal{M}} f(x) = \lim_{t \rightarrow 0^+} \frac{\mathbb{E}[f(X_t^x)] - f(x)}{t}$$

On prend  $A_t = a$ ,  $B_t = \sqrt{X_s^x}$  et  $C_t = \bar{\alpha} + B(X_s^x)$

## Theorem

Posons  $\mathcal{D}^{\mathcal{M}} = (\partial_{i,j})_{1 \leq i,j \leq d}$ . On a :

$$\begin{aligned} \mathcal{L}^{\mathcal{M}} = & \operatorname{Tr}([\bar{\alpha} + B(x)]\mathcal{D}^{\mathcal{M}}) + \frac{1}{2}[2\operatorname{Tr}(x\mathcal{D}^{\mathcal{M}}a^T a\mathcal{D}^{\mathcal{M}}) \\ & + \operatorname{Tr}(x(\mathcal{D}^{\mathcal{M}})^T a^T a\mathcal{D}^{\mathcal{M}}) + \operatorname{Tr}(x\mathcal{D}^{\mathcal{M}}a^T a(\mathcal{D}^{\mathcal{M}})^T)] \end{aligned}$$

Réécrivons ce résultat lorsque que l'on se restreint aux matrices symétriques. La même définition du générateur  $\mathcal{L}^S$  mais cette fois-ci pour  $f \in \mathcal{C}^2(\mathcal{S}_d(\mathbb{R}), \mathbb{R})$  donne :

## Theorem

Posons  $\mathcal{D}_{i,j}^S = (1_{i=j} + \frac{1}{2}1_{i \neq j})\partial_{i,j}$  pour  $1 \leq i, j \leq d$ . On a alors :

$$\mathcal{L}^S = \text{Tr}([\bar{\alpha} + B(x)]\mathcal{D}^S) + 2\text{Tr}(x\mathcal{D}^S a^T a \mathcal{D}^S)$$

- 1 Introduction
- 2 Processus affines et processus de Wishart : premiers résultats
  - Expression du générateur sur  $\mathcal{M}_d(\mathbb{R})$  puis sur  $\mathcal{S}_d(\mathbb{R})$
  - Processus de Wishart et fonction caractéristique
  - Réécriture des processus affines
- 3 Simulation des processus de Wishart
- 4 Simulation d'un processus de Cox-Ingersoll-Ross
- 5 Perspectives

## Theorem

Soit  $X_t^x$  un processus de Wishart, noté  $WIS_d(x, \alpha, b, a; t)$ . Posons alors  $q_t = \int_0^t \exp(sb) a^T a \exp(sb^T) ds$  et  $m_t = \exp(tb)$ . On définit alors le domaine de convergence de  $X_t^x$  comme

$$\mathcal{D}_{b,a;t} = \{v \in \mathcal{S}_d(\mathbb{R}), \mathbb{E}[\exp(\text{Tr}(vX_t^x))] < \infty\}$$

C'est un ouvert convexe que l'on peut directement déterminer :

$$\mathcal{D}_{b,a;t} = \{v \in \mathcal{S}_d(\mathbb{R}), \forall s \in [0, t], I_d - 2q_s v \in \mathcal{G}_d(\mathbb{R})\}$$

On peut alors calculer la transformation de Laplace pour  $v = v_R + v_I$   
 $v_R \in \mathcal{D}_{b,a;t}$   $v_I \in \mathcal{S}_d(\mathbb{R})$

$$\mathbb{E}[\exp(\text{Tr}(vX_t^x))] = \frac{\exp(\text{Tr}[v(I_d - 2q_t v)^{-1} m_t x m_t^T])}{\det(I_d - 2q_t v)^{\frac{\alpha}{2}}}$$

- 1 Introduction
- 2 Processus affines et processus de Wishart : premiers résultats
  - Expression du générateur sur  $\mathcal{M}_d(\mathbb{R})$  puis sur  $\mathcal{S}_d(\mathbb{R})$
  - Processus de Wishart et fonction caractéristique
  - Réécriture des processus affines
- 3 Simulation des processus de Wishart
- 4 Simulation d'un processus de Cox-Ingersoll-Ross
- 5 Perspectives



On constate qu'on a en loi l'égalité

$$AFF_d(x, \bar{\alpha}, B, a) = AFF_d(x, \bar{\alpha}, B, \sqrt{a^T a})$$

Par ailleurs, on peut effectuer des transformations affines de processus affines. Si  $B_q(x) = (q^T)^{-1} B (q^T x q) q^{-1}$  avec  $q$  inversible, alors

$$AFF_d(x, \bar{\alpha}, B, a) = q^T AFF_d((q^T)^{-1} x q^{-1}, (q^T)^{-1} \bar{\alpha} q^{-1}, B_q, a q^{-1}) q$$

## Theorem

Soit  $n$  le rang de  $a^T a$ . Alors il existe une matrice inversible  $\bar{\delta}$  de taille  $d$  telle que  $\bar{\alpha} = u^T \bar{\delta} u$  et  $a^T a = u^T I_d^n u$ . On a alors :

$$AFF_d(x, \bar{\alpha}, B, a) = u^T AFF_d((u^T)^{-1} x u^{-1}, \bar{\delta}, B_u, I_d^n) u$$

Combinons alors les résultats précédents. Nous obtenons alors le résultat suivant :

## Theorem

Soient, pour un processus de Wishart  $WIS_d(x, \bar{\alpha}, b, a; t)$ ,  $q_t$  et  $m_t$  définis comme précédemment. On a alors :

$$WIS_d(x, \alpha, b, a; t) = \theta_t WIS_d(\theta_t^{-1} m_t x m_t^T (\theta_t^{-1})^T, \alpha, 0, I_d^n; t) \theta_t^T$$

- 1 Introduction
- 2 Processus affines et processus de Wishart : premiers résultats
- 3 Simulation des processus de Wishart
  - Décomposition en générateurs élémentaires
  - Simulation de  $WIS_2(x, \alpha, 0, e_2^1; t)$  (cas  $d=2$ )
  - Cas général (idées principales)
- 4 Simulation d'un processus de Cox-Ingersoll-Ross
- 5 Perspectives

# Principe

- L'identité en loi précédente nous permet de nous concentrer sur le cas  $b = 0$  et  $a = I_d^n$
- On va écrire le générateur associé à  $WIS(x, \alpha, 0, I_d^n)$  comme une somme de générateurs qui commutent, et associés à des EDS solubles

## Theorem

Soit  $L$  le générateur associé au processus de Wishart  $WIS(x, \alpha, 0, I_d^n)$  et  $L_{e_d^i}$  le générateur associé à  $WIS(x, \alpha, 0, e_d^i)$  pour  $i \in \{1, \dots, d\}$ . On a

$$L = \sum_{i=1}^n L_{e_d^i}$$

et  $\forall i, j \in \{1, \dots, d\},$

$$L_{e_d^i} L_{e_d^j} = L_{e_d^j} L_{e_d^i}$$

## Remarque

Les opérateurs  $L_{e_d^i}$  et  $L_{e_d^j}$  sont les mêmes à l'échange des coordonnées  $i$  et  $j$  près

Les processus  $WIS(x, \alpha, 0, I_d^n)$  et  $WIS(x, \alpha, 0, e_d^i)$  sont bien définis sous  $\mathcal{S}_d^+(\mathbb{R})$  sous les mêmes hypothèses,  $\alpha \geq d - 1$  et  $x \in \mathcal{S}_d^+(\mathbb{R})$

Soit  $x \in \mathcal{S}_d^+(\mathbb{R})$  et  $t > 0$ . On définit, itérativement

$$\begin{aligned} X_t^{1,x} &\sim WIS_d(x, \alpha, 0, e_d^1; t) \\ X_t^{2, X_t^{1,x}} &\sim WIS_d(X_t^{1,x}, \alpha, 0, e_d^2; t) \\ &\vdots \\ X_t^{n, \dots, X_t^{1,x}} &\sim WIS_d(X_t^{n-1, \dots, X_t^{1,x}}, \alpha, 0, e_d^n; t) \end{aligned}$$

## Theorem

Soit  $X_t^{n, \dots, X_t^{1,x}}$  défini comme ci-dessus. Alors

$$X_t^{n, \dots, X_t^{1,x}} \sim WIS_d(x, \alpha, 0, I_d^n; t)$$

Preuve (formelle)

Soit  $X_t^x \sim WIS_d(x, \alpha, 0, I_d^n; t)$ . Par la formule d'Itô itérée :

$$\mathbb{E}[f(X_t^x)] = \sum_{k=0}^{\infty} t^k L^k f(x) / k!$$

Et on a aussi

$$\begin{aligned} \mathbb{E}[f(X_t^{n, \dots, X_t^{1,x}})] &= \mathbb{E}[\mathbb{E}[f(X_t^{n, \dots, X_t^{1,x}}) | X_t^{n-1, \dots, X_t^{1,x}}]] \\ &= \sum_{k=0}^{\infty} \frac{t^{k_n}}{k_n!} \mathbb{E}[L_{e_d^n}^{k_n} f(X_t^{n, \dots, X_t^{1,x}})] \end{aligned}$$

En répétant cet argument on obtient

$$\begin{aligned}\mathbb{E}[f(X_t^n, \dots, X_t^{1,x})] &= \sum_{k_1, \dots, k_n=0}^{\infty} \frac{t^{\sum k_i}}{k_1! \dots k_n!} L_{e_1^n}^{k_1} \dots L_{e_d^n}^{k_n} f(x) \\ &= \sum_{k=0}^{\infty} \frac{t^k}{k!} (L_{e_1^n} + \dots + L_{e_d^n})^k f(x) \\ &= \mathbb{E}[f(X_t^x)]\end{aligned}$$

Rq : séries bien définies + interversion (à vérifier)

## Résumé

En résumé, pour simuler  $WIS_d(x, \alpha, b, a; t)$ , il suffit de savoir simuler  $WIS_d(x, \alpha, 0, e_d^1; t)$

- 1 Introduction
- 2 Processus affines et processus de Wishart : premiers résultats
- 3 Simulation des processus de Wishart
  - Décomposition en générateurs élémentaires
  - Simulation de  $WIS_2(x, \alpha, 0, e_2^1; t)$  (cas  $d=2$ )
  - Cas général (idées principales)
- 4 Simulation d'un processus de Cox-Ingersol-Ross
- 5 Perspectives



- Soit  $L_{e_2^1}$  le générateur de  $WIS_2(x, \alpha, 0, e_2^1; t)$ . On peut l'écrire explicitement :

$$L_{e_2^1} f(x) = \alpha \partial_{\{1,1\}} f(x) + 2x_{\{1,1\}} \partial_{\{1,1\}}^2 f(x) + 2x_{\{1,2\}} \partial_{\{1,1\}} \partial_{\{1,2\}} f(x) + \frac{x_{\{2,2\}}}{2} \partial_{\{1,2\}}^2 f(x)$$

- On va trouver une EDS soluble associée à ce générateur (deux cas selon que  $x_{\{2,2\}}$  nul ou strictement positif)

- On suppose  $x_{\{2,2\}} = 0$ . Dans ce cas,  $x_{\{1,2\}}$  est également nul car  $x \in \mathcal{S}_2^+(\mathbb{R})$
- Dans ce cas, l'EDS

$$\begin{aligned} X_0 &= x, & d(X_t^x)_{\{1,1\}} &= \alpha dt + 2\sqrt{(X_t^x)_{\{1,1\}}} dZ_t^1 \\ d(X_t^x)_{\{1,2\}} &= 0, & d(X_t^x)_{\{2,2\}} &= 0 \end{aligned}$$

a le même générateur que celui présenté

- Il suffit donc de savoir simuler un CIR (en fait un processus de Bessel carré) dans ce cas (voir plus loin)

- On suppose maintenant  $x_{\{2,2\}} > 0$ . On vérifie alors que l'EDS

$$d(X_t^x)_{\{1,1\}} = \alpha dt + 2\sqrt{(X_t^x)_{\{1,1\}} - \frac{(X_t^x)_{\{1,2\}}^2}{(X_t^x)_{\{2,2\}}}} dZ_t^1 \\ + 2\frac{(X_t^x)_{\{1,2\}}}{\sqrt{(X_t^x)_{\{2,2\}}}} dZ_t^2 \\ d(X_t^x)_{\{1,2\}} = \sqrt{(X_t^x)_{\{2,2\}}} dZ_t^2, \quad d(X_t^x)_{\{2,2\}} = 0$$

- Pour résoudre cette EDS on pose

$$(U_t^u)_{\{1,1\}} = (X_t^x)_{\{1,1\}} - \frac{(X_t^x)_{\{1,2\}}^2}{(X_t^x)_{\{2,2\}}} \\ (U_t^u)_{\{1,2\}} = \frac{(X_t^x)_{\{1,2\}}}{\sqrt{x_{\{2,2\}}}}, \quad (U_t^u)_{\{2,2\}} = x_{\{2,2\}}$$

- La formule d'Itô permet alors d'obtenir

$$\begin{aligned}d(U_t^u)_{\{1,1\}} &= (\alpha - 1)dt + 2\sqrt{(U_t^u)_{\{1,1\}}}dZ_t^1 \\d(U_t^u)_{\{1,2\}} &= dZ_t^2, \quad d(U_t^u)_{\{2,2\}} = 0\end{aligned}$$

- On peut alors simuler  $U$  à l'aide de CIR (sur la diagonale) et de gaussiennes indépendantes (pour les termes croisés). On retrouve la même structure pour le cas général.
- On obtient ensuite  $(X_t)$  en inversant le système de départ

$$\begin{aligned}(X_t^x)_{\{1,1\}} &= (U_t^u)_{\{1,1\}} + (U_t^u)_{\{1,2\}} \\(X_t^x)_{\{1,2\}} &= (U_t^u)_{\{1,2\}}\sqrt{(U_t^u)_{\{2,2\}}}, \quad (X_t^x)_{\{2,2\}} = (U_t^u)_{\{2,2\}}\end{aligned}$$

## Theorem

*ENTREE* :  $x \in \mathcal{S}_d^+(\mathbb{R}, \alpha \geq d - 1 \text{ et } t \geq 0$

*SORTIE* :  $X$ , échantillonné selon  $WIS_2(x, \alpha, 0, e_2^1; t)$

- On échantillonne  $G_2$  une variable gaussienne
- On échantillonne  $(U_t^u)_{1,1}$  un processus CIR au temps partant de  $u_{1,1}$  et tel que

$$d(U_t^u)_{1,1} = (\alpha - 1)dt + 2\sqrt{U_{t,1,1}^u}dZ_t^1$$

- On calcule

$$(U_t^u)_{1,2} = (u_t^u)_{1,2} + \sqrt{t}G_2$$

- *RETOURNER*

$$(X_t^x)_{\{1,1\}} = (U_t^u)_{\{1,1\}} + (U_t^u)_{\{1,2\}}$$

$$(X_t^x)_{\{1,2\}} = (U_t^u)_{\{1,2\}}\sqrt{(U_t^u)_{\{2,2\}}}, \quad (X_t^x)_{\{2,2\}} = (U_t^u)_{\{2,2\}}$$

- 1 Introduction
- 2 Processus affines et processus de Wishart : premiers résultats
- 3 Simulation des processus de Wishart
  - Décomposition en générateurs élémentaires
  - Simulation de  $WIS_2(x, \alpha, 0, e_2^1; t)$  (cas  $d=2$ )
  - Cas général (idées principales)
- 4 Simulation d'un processus de Cox-Ingersol-Ross
- 5 Perspectives

Dans le cas général de la dimension  $d$ , les mêmes idées sont à l'œuvre

- Écrire explicitement le générateur de l'EDS
- Utiliser des résultats de décomposition matricielle (Cholesky étendu) pour la sous-matrice  $(x_{i,j})_{2,j}$
- Trouver une équation soluble de même générateur et la résoudre par changement de variables
- Simulation de  $U$ , puis de  $X$  avec des CIR et des gaussiennes indépendantes

- 1 Introduction
- 2 Processus affines et processus de Wishart : premiers résultats
- 3 Simulation des processus de Wishart
- 4 Simulation d'un processus de Cox-Ingersoll-Ross
  - Cox-Ingersoll-Ross
  - Densité de transition
  - Simulation d'un  $\chi_d^2(\lambda)$
  - Simulation et résultats
- 5 Perspectives



- Processus CIR gouverné par :

$$dr(t) = a(b - r(t)) dt + \sigma \sqrt{r(t)} dW_t$$

- $b$  : valeur cible,  $a$  : vitesse de convergence
- Schema d'Euler

$$r(t_{i+1}) = r(t_i) + a(b - r(t_i))(t_{i+1} - t_i) + \sigma \sqrt{r(t_i)^+} \sqrt{t_{i+1} - t_i} Z_{i+1}$$

- Partie positive car  $r(t_i)$  peut devenir négatif  $\Rightarrow$  erreur d'approximation !
- On va utiliser la loi de transition du processus (connue même si EDS non soluble)

- 1 Introduction
- 2 Processus affines et processus de Wishart : premiers résultats
- 3 Simulation des processus de Wishart
- 4 Simulation d'un processus de Cox-Ingersoll-Ross
  - Cox-Ingersoll-Ross
  - **Densité de transition**
  - Simulation d'un  $\chi_d^2(\lambda)$
  - Simulation et résultats
- 5 Perspectives

- Notation : si  $\chi = \sum_{i=1}^d (Z_i + a_i)^2$ , où les  $Z_i$  sont des gaussiennes standards iid,  $\chi$  ne dépend que de  $\lambda := \sum_{i=1}^d a_i^2$ . On note  $\chi_d^2(\lambda)$  cette variable aléatoire.
- Densité de transition ( $u < t$ )

$$r(t)|r(u) \sim \frac{\sigma^2 (1 - e^{-a(t-u)})}{4a} \chi_d^2 \left( \frac{4ae^{-a(t-u)}}{\sigma^2(1 - e^{-a(t-u)})} r(u) \right)$$

ou  $d := 4ab/\sigma^2 \in \mathbb{R}_+$  (voir plus loin)

- Comment simuler un  $\chi_d^2(\lambda)$  ?

- 1 Introduction
- 2 Processus affines et processus de Wishart : premiers résultats
- 3 Simulation des processus de Wishart
- 4 Simulation d'un processus de Cox-Ingersoll-Ross
  - Cox-Ingersoll-Ross
  - Densité de transition
  - **Simulation d'un  $\chi_d^2(\lambda)$**
  - Simulation et résultats
- 5 Perspectives

# Simulation d'un $\chi_d^2(\lambda)$ (cas $d > 1$ )

- Cas  $d > 1$  : par un calcul simple

$$\chi_d^2(\lambda) = (Z + \sqrt{\lambda})^2 + \chi_{d-1}^2$$

ou  $Z \sim N(0, 1)$  et  $\chi_{d-1}^2$  est centre

- Simulation de  $\chi_d^2(\lambda)$  aisée

## Simulation d'un $\chi_d^2(\lambda)$ (cas $d < 1$ )

- Remarque : la fonction de répartition d'un  $\chi_d^2$  centré est donnée par

$$P(\chi_d^2 \leq y) = \frac{1}{2^{d/2} \Gamma(d/2)} \int_0^y e^{-z/2} z^{d/2-1} dz$$

valide pour  $d \in \mathbb{R}_+$

- Par ailleurs, la fonction de répartition d'un  $\chi_d^2(\lambda)$  est donnée par

$$P(\chi_d^2(\lambda) \leq y) = e^{-\lambda/2} \sum_{j=0}^{+\infty} \frac{(\lambda/2)^j / j!}{2^{d/2+j} \Gamma(d/2 + j)} \int_0^y e^{-z/2} z^{d/2+j-1} dz$$

valide pour  $d \in \mathbb{R}_+$

# Simulation d'un $\chi_d^2(\lambda)$ (cas $d < 1$ )

- Soit  $N$  une poisson de moyenne  $\lambda/2$

$$P(N = j) = e^{-\lambda/2} \frac{(\lambda/2)^j}{j!}$$

- On a donc

$$P(\chi_d^2(\lambda) \leq y) = \sum_{j=0}^{+\infty} P(N = j) P(\chi_{d+2N}^2 \leq y | N = j)$$

valide pour  $d \in \mathbb{R}_+$

- On peut donc voir (et simuler) un  $\chi_d^2(\lambda)$  comme un  $\chi^2$  centré avec un degré de liberté aléatoire

- 1 Introduction
- 2 Processus affines et processus de Wishart : premiers résultats
- 3 Simulation des processus de Wishart
- 4 Simulation d'un processus de Cox-Ingersoll-Ross
  - Cox-Ingersoll-Ross
  - Densité de transition
  - Simulation d'un  $\chi_d^2(\lambda)$
  - Simulation et résultats
- 5 Perspectives



- Simulation du CIR sur une grille  $0 = t_0 < t_1 < \dots < t_n = T$
- Utilisation de la densité de transition pour passer de  $i$  à  $i+1$
- Simulation du  $\chi_d^2(\lambda)$  ou  $d := 4ab/\sigma^2$  avec l'une ou l'autre méthode selon que  $d > 1$  ou  $d \leq 1$

# Résultats

- Cas 1 : volatilité très faible ( $\sigma = 10^{-3}$ ), temps long ( $T=20$ ), vitesse normale ( $a=0.2$ )
- On attend une convergence vers la valeur cible  $b=0.05$

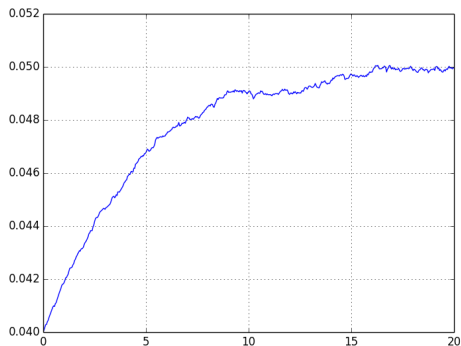


Figure: CIR avec volatilité quasi-nulle

# Resultats

- Cas 1 : volatilité normale ( $\sigma = 0.1$ ), temps intermédiaire ( $T=5.0$ ), vitesse très grande ( $a=20$ )
- On attend une stabilisation rapide autour de la valeur cible  $b=0.05$

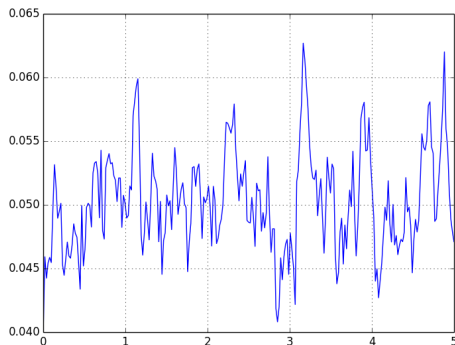


Figure: CIR avec vitesse élevée

- 1 Introduction
- 2 Processus affines et processus de Wishart : premiers résultats
- 3 Simulation des processus de Wishart
- 4 Simulation d'un processus de Cox-Ingersoll-Ross
- 5 Perspectives
  - Dans l'immédiat
  - Pistes envisagées

- Mettre en place la simulation exacte d'un processus de Wishart en suivant l'algorithme présenté (dimension 2, puis  $d$ )
- Comparer les résultats obtenus avec les Ornstein-Uhlenbeck carrés dans le cas où  $\alpha$  est entier
- Étudier et implémenter le schéma de discrétisation qui permet un gain de vitesse dans l'algorithme, et étudier ses performances asymptotiques
- Comparer (précision, vitesse) les deux méthodes de simulation pour un Wishart

- 1 Introduction
- 2 Processus affines et processus de Wishart : premiers résultats
- 3 Simulation des processus de Wishart
- 4 Simulation d'un processus de Cox-Ingersoll-Ross
- 5 Perspectives
  - Dans l'immédiat
  - Pistes envisagées

- Étudier les applications des processus de Wishart en mathématiques financières : matrice de covariance d'un panier d'actifs

$$dS_t = \text{diag}(S_t)[(r\mathbf{1} + \lambda_t dt) + \sqrt{\Sigma_t} dZ_t]$$

où  $Z_t$  est un brownien indépendant de celui utilisé qui intervient dans la dynamique du Wishart

- Ajouter une corrélation entre le brownien des actifs et celui du processus de Wishart
- Utiliser la fonction caractéristique d'un processus de Wishart pour sa simulation (a priori plus difficile)

Merci de votre attention !  
Questions ?